



Quelques propriétés de Rijndael

Marine Minier
Laboratoire CITI
INSA de Lyon



Plan de la présentation

- Description de l'AES et de ses frères
- Propriété intégrale de l'AES
- Propriétés intégrales des Rijndael
- Distingueurs déduits
 - A clés inconnus
 - A clés connus
- LANE
- Conclusion

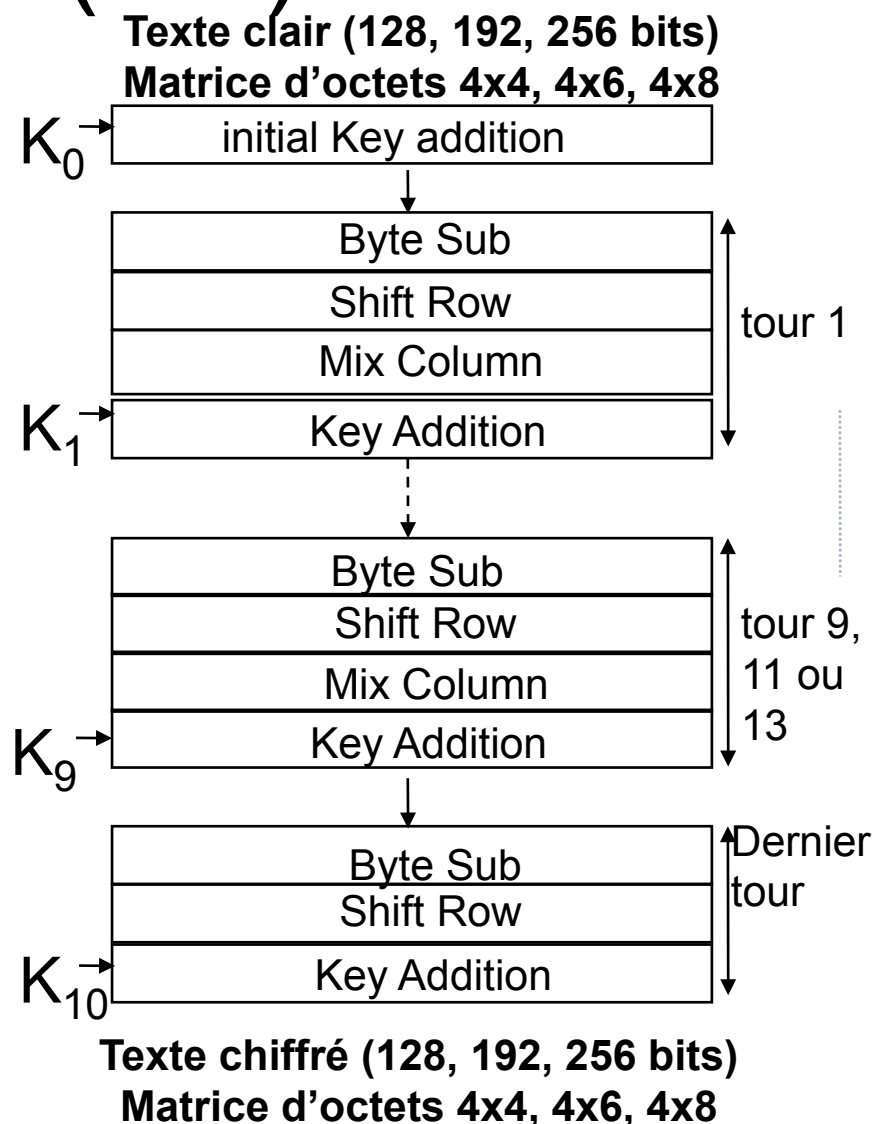


L'AES et ses frères

L'AES et Rijndael (1/3)

- Rijndael, créé par V. Rijmen et J. Daemen, choisi comme AES en octobre 2000.

- Algorithme de chiffrement par blocs utilisant une structure parallèle.
- **Taille des blocs :**
128, 192 ou 256 bits.
- **Longueurs des clés :**
128, 192, ou 256 bits.
- Le **nombre de tours varie** entre 10 et 14 selon la taille des blocs et la longueur des clés.



L'AES (2/3) : : La Fonction Étage 1/2

① Byte Substitution

a_{00}	a_{01}	a_{02}	a_{03}
a_{10}	a_{11}	a_{12}	a_{13}
a_{20}	a_{21}	a_{22}	a_{23}
a_{30}	a_{31}	a_{32}	a_{33}

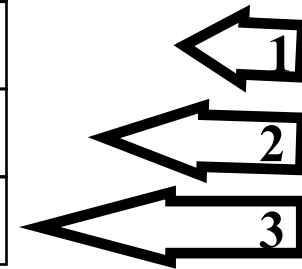
(8x8 S-box S)



$S(a_{00})$	$S(a_{01})$	$S(a_{01})$	$S(a_{00})$
$S(a_{13})$	$S(a_{12})$	$S(a_{11})$	$S(a_{10})$
$S(a_{23})$	$S(a_{22})$	$S(a_{21})$	$S(a_{20})$
$S(a_{33})$	$S(a_{32})$	$S(a_{31})$	$S(a_{30})$

② Shift Row

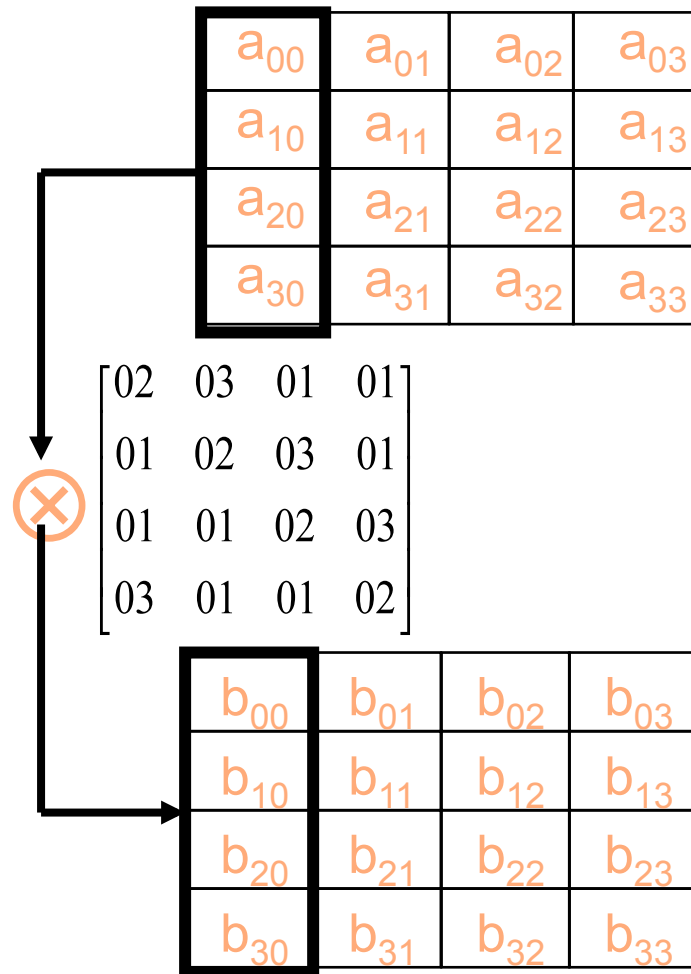
a_{00}	a_{01}	a_{02}	a_{03}
a_{10}	a_{11}	a_{12}	a_{13}
a_{20}	a_{21}	a_{22}	a_{23}
a_{30}	a_{31}	a_{32}	a_{33}



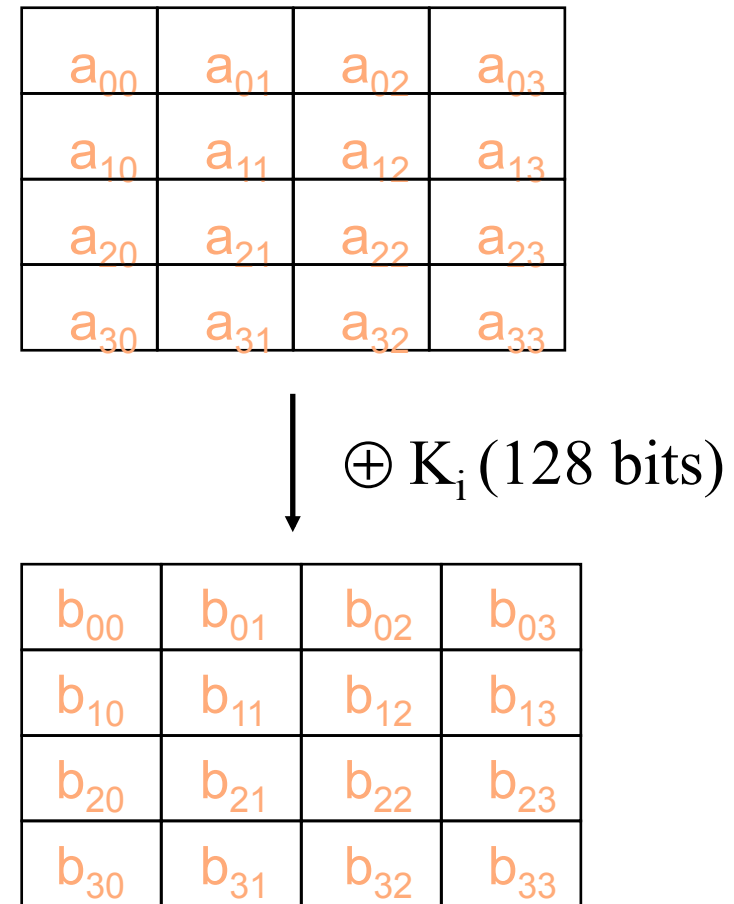
a_{00}	a_{01}	a_{02}	a_{03}
a_{11}	a_{12}	a_{13}	a_{10}
a_{22}	a_{23}	a_{20}	a_{21}
a_{32}	a_{30}	a_{33}	a_{31}

L'AES (3/3) : : La Fonction Étage 2/2

③ Mix Column

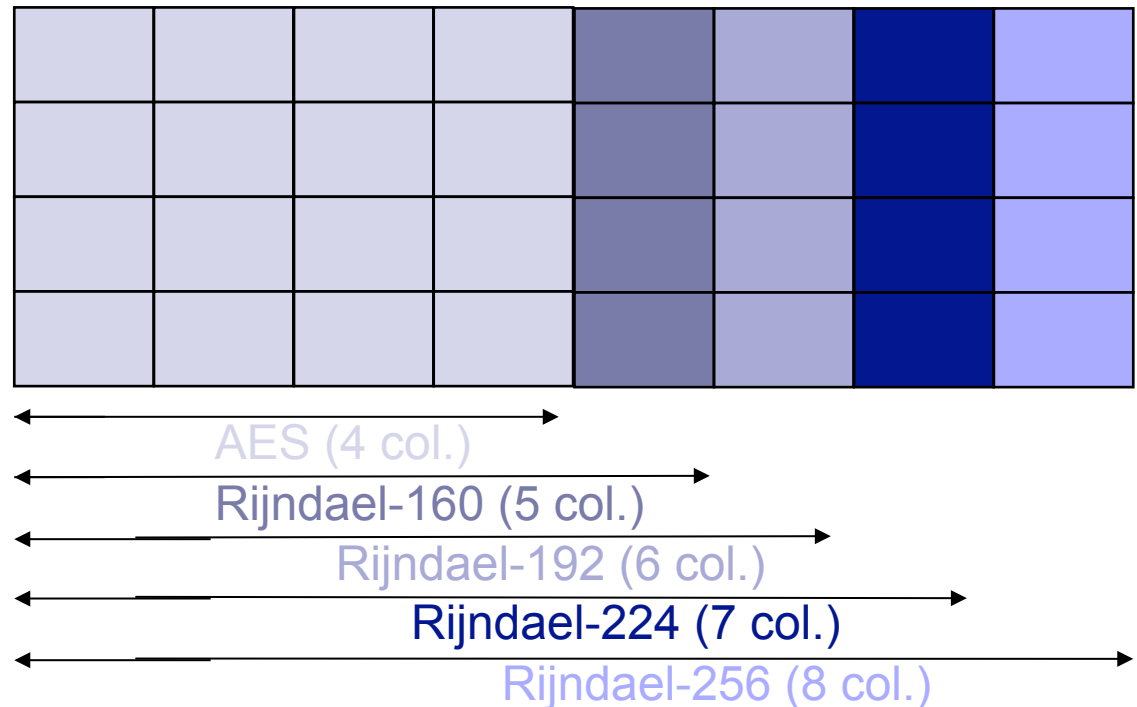


④ Key Addition



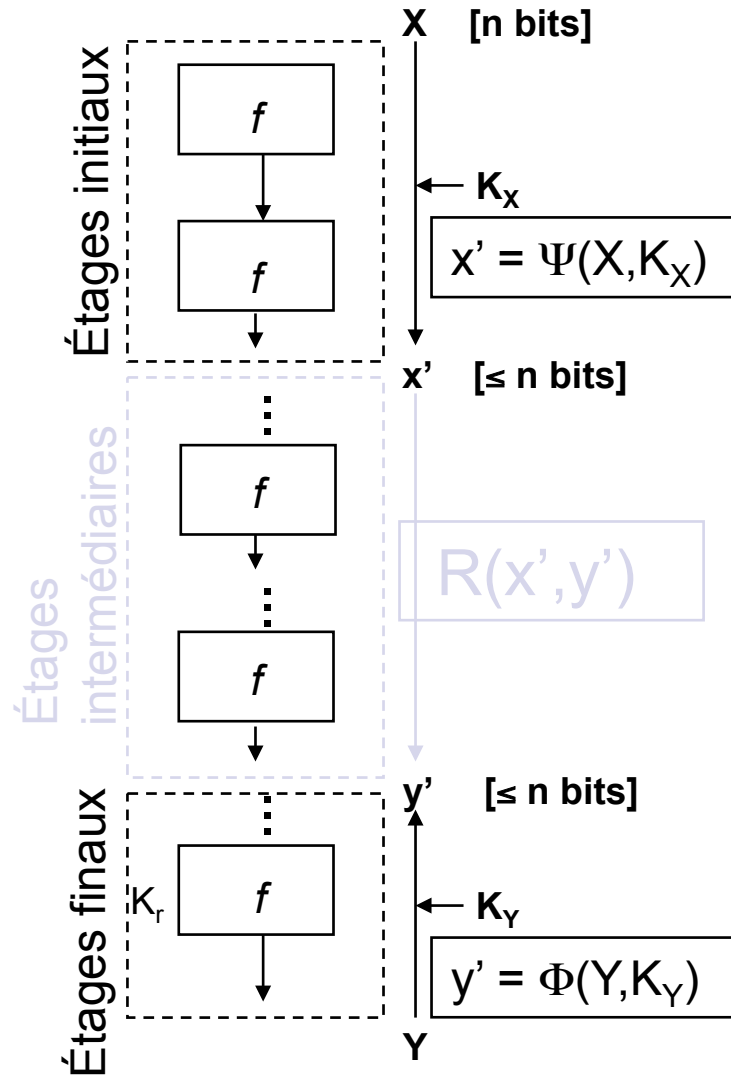
Rijndael : les différences

- Change :
 - Le nb de tours
 - Les ShiftRows



	AES	Rijndael-160	Rijndael-192	Rijndael-224	Rijndael-256
ShiftRows	(1,2,3)	(1,2,3)	(1,2,3)	(1,2,4)	(1,3,4)
Nb rounds ($Nk=128$)	10	11	12	13	14
Nb rounds ($Nk=192$)	12	12	12	13	14
Nb rounds ($Nk=256$)	14	14	14	14	14

Principe Général de la Cryptanalyse



- **Distingueur A :**
recherche d'une relation $R(x', y')$ sur les étages intermédiaires qui ait une probabilité p de se produire aussi éloignée que possible de la probabilité uniforme p^* :

$$\Pr[A] = \text{Adv}(A) = |p - p^*|$$

- **Test de clés sur (K_x, K_y)**

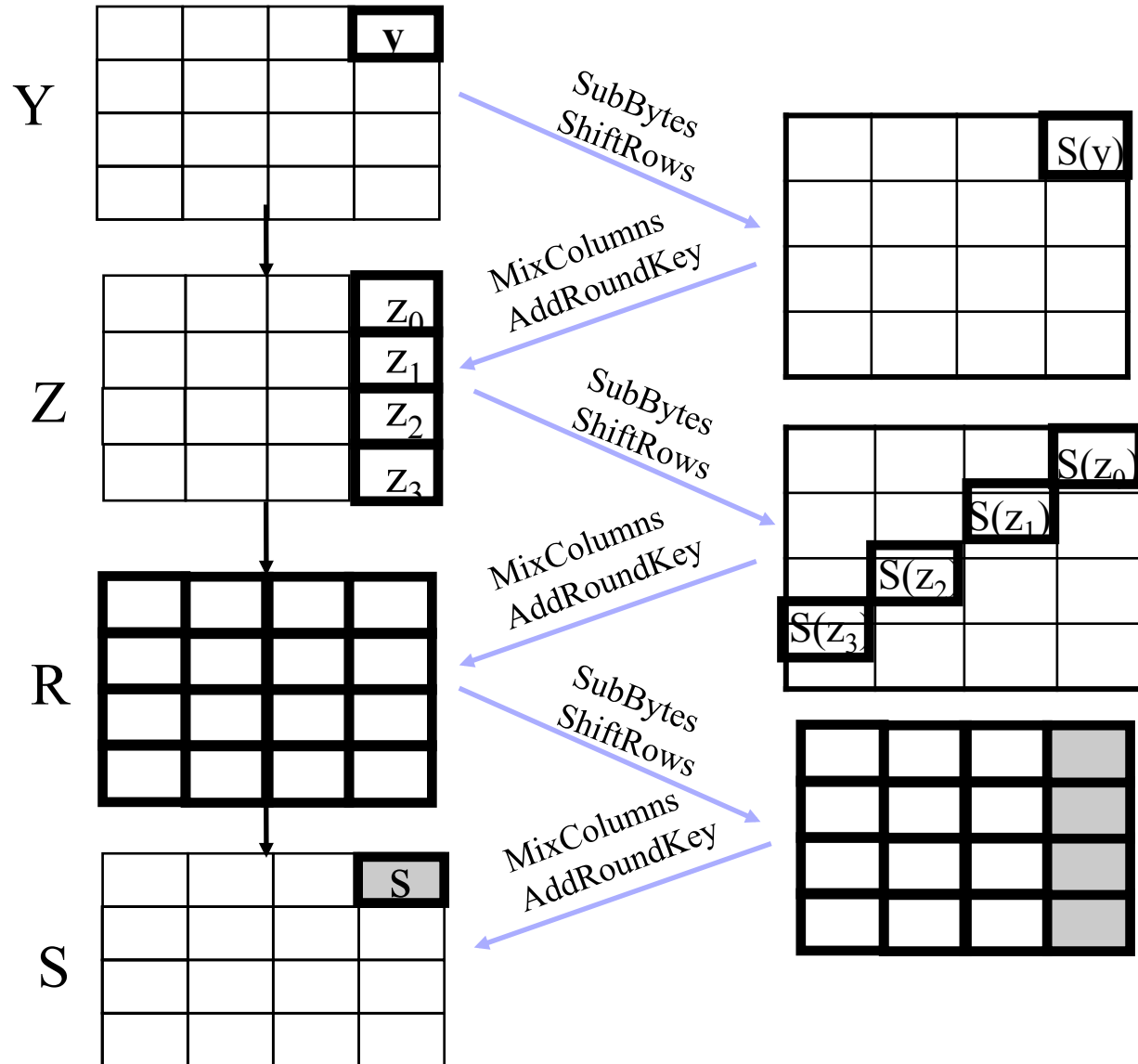


Propriétés intégrales

Propriétés intégrales de l'AES (1/2)

- octet $y = 0 \dots 255$
- autres octets = constants

$$\bigoplus_{y=0}^{255} s(y) = 0$$



Propriétés intégrales de l'AES (2/2)

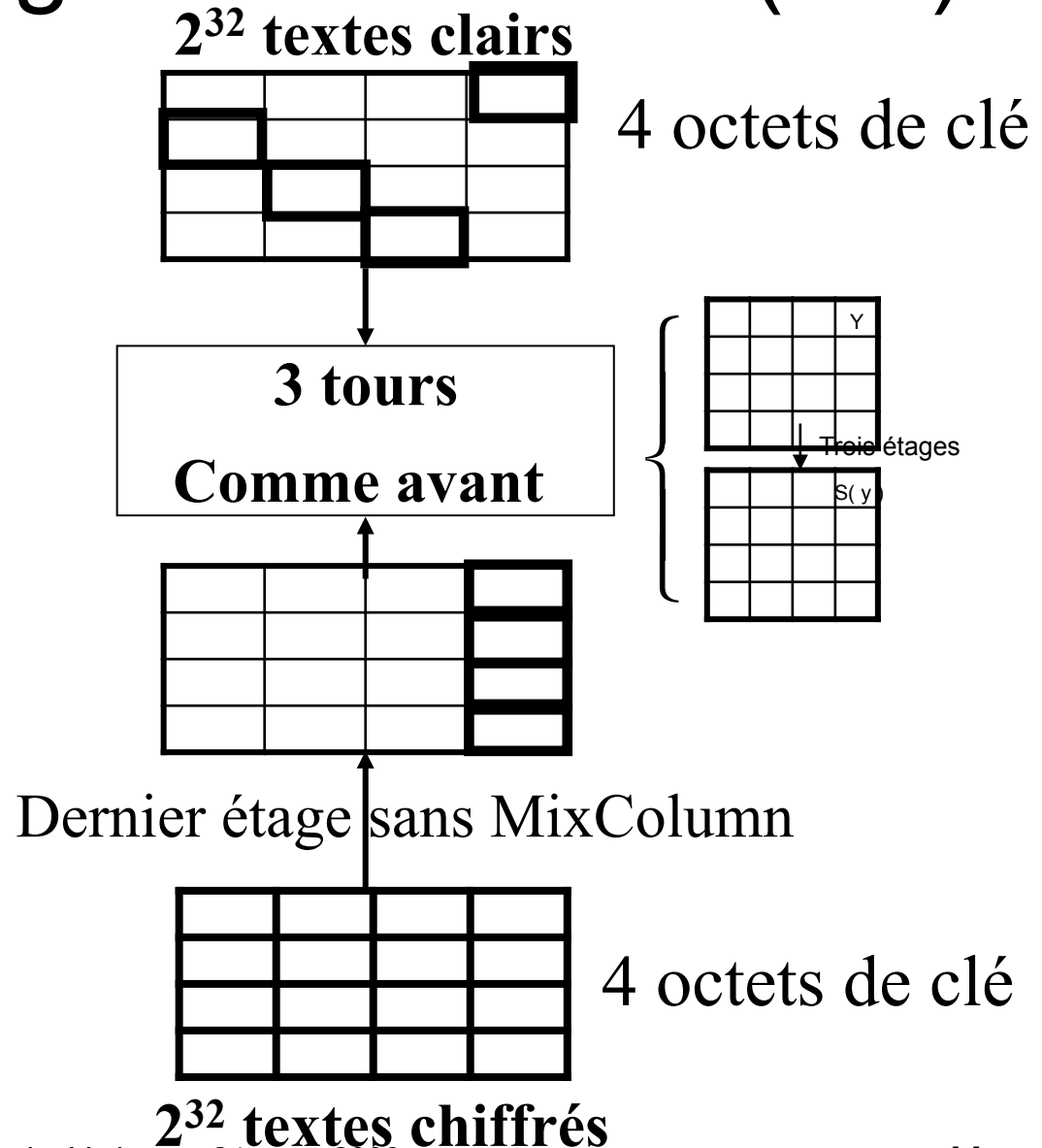
- Pour chaque valeurs des 9 octets des sous-clés :

- Tester :

$$\bigoplus_{y=0}^{255} s(y) =? 0$$

Les bonnes clés passent le test.

- Attention aux fausses alarmes.





Complexité des attaques intégrales

- Avec l'amélioration de Ferguson :

- Pour **6 tours** : **Nb clairs** = **$6 \cdot 2^{32}$** ,

- Complexité** = **2^{46}**

- Pour **7 tours** : **Nb clairs** = **$2^{128} - 2^{119}$** ,

- Complexité** = **2^{120}**



Pour Rijndael

- Le même genre de propriétés
- Mais en raison de la diffusion plus lente, plus d'étages + meilleures extensions

Rijndael-256 : 1^{ère} remarque

y							

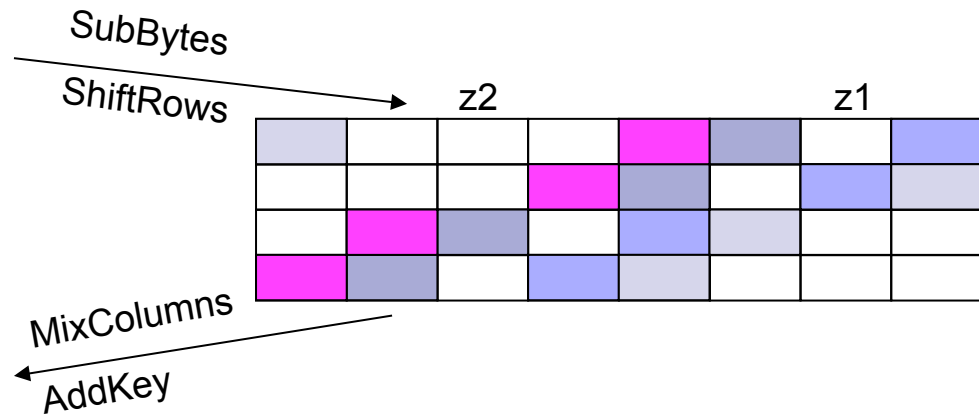
z0							
z1							
z2							
z3							

z0				z3	z2		z1

		a ₀			b ₀	
		a ₁			b ₁	
		a ₂			b ₂	
		a ₃			b ₃	

Rappel : SR : 1, 2, 4

Nb tours : 14 (min)



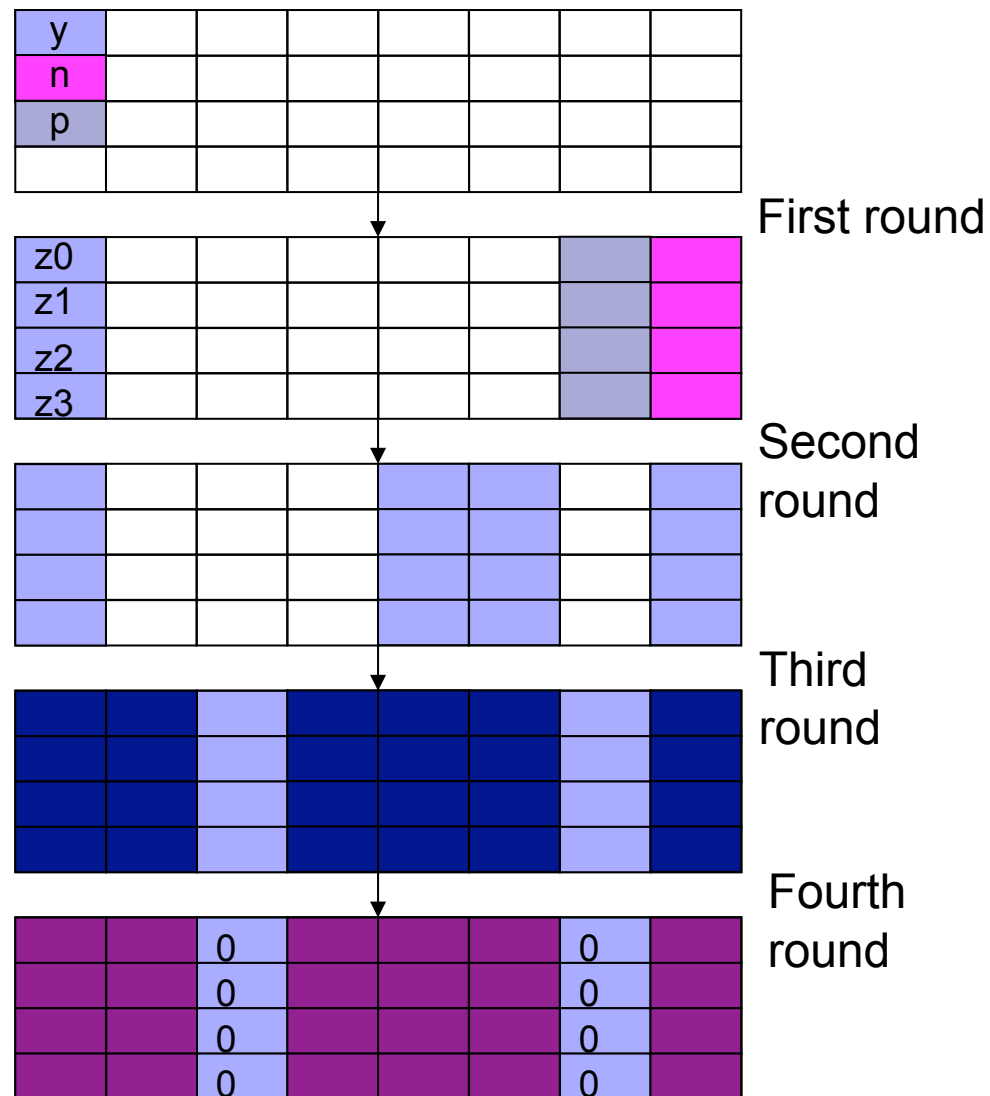
Rijndael 256

Propriété

Intégrale

Distingueur sur 4 étages :

- Saturation de 3 octets
- => Complexité : 2^{24} chiffrements



Rijndael 224

Propriété

Intégrale

Distingueur sur 4 étages :

- Saturation de 2 octets
- => Complexité : 2^{16} chiffrements

y						
	p					

First round

z0						
z1						
z2						
z3						

Second round

Third round

Fourth round

0						
0						
0						
0						

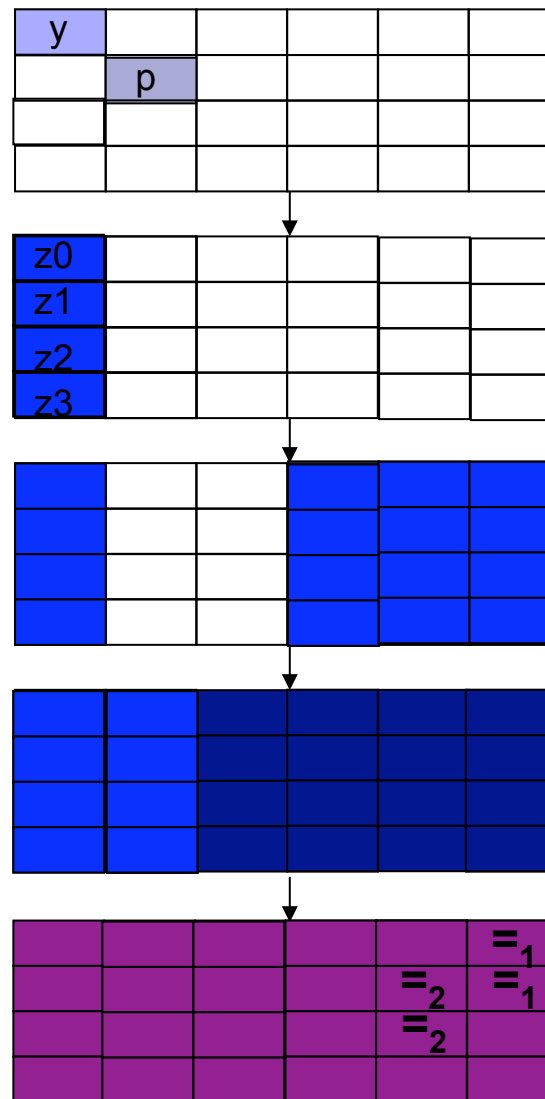
Rijndael 192

Propriété

Intégrale (1)

Distingueur sur 4 étages :

- Saturation de 2 octets
- => Complexité : 2^{16} chiffrements



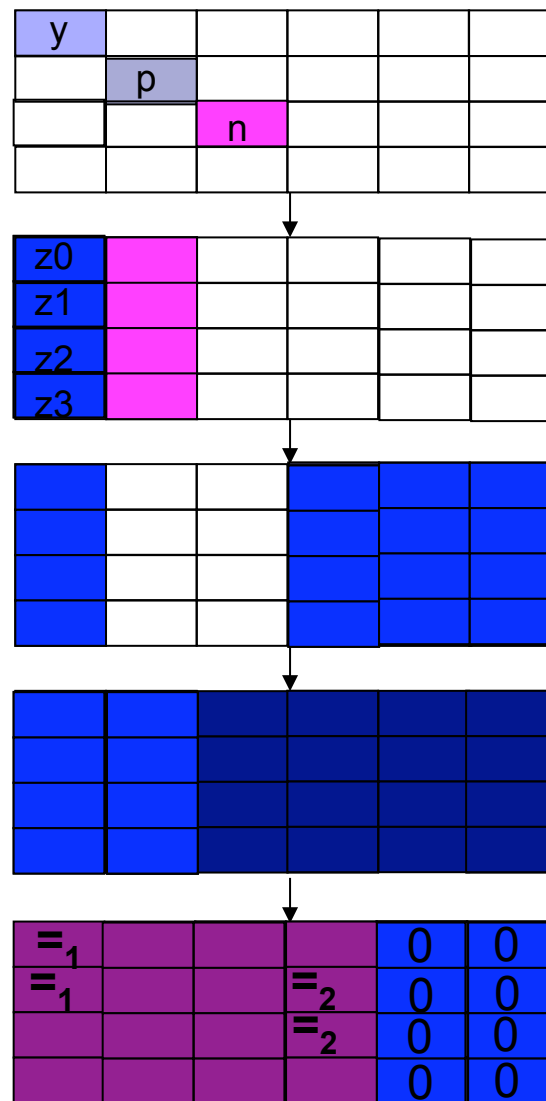
Rijndael 192

Propriété

Intégrale (2)

Distingueur sur 4 étages :

- Saturation de 2 octets
- => Complexité : 2^{16} chiffrements



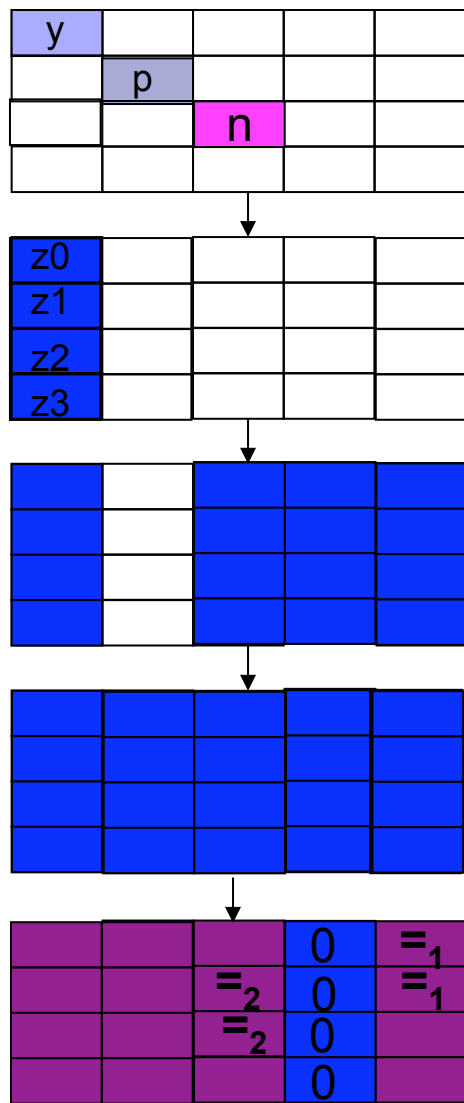
Rijndael 160

Propriété

Intégrale

Distingueur sur 4 étages :

- Saturation de 2 octets
- => Complexité : 2^{16} chiffrements



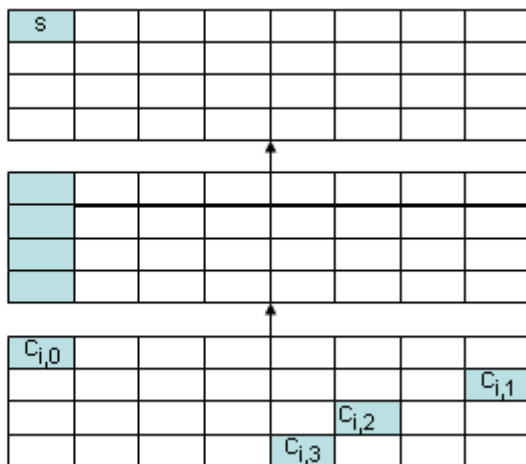


Distingueurs à clés inconnues

Extension de 2 tours à la fin

- [Ferguson et al. -00] : sommes partielles
- s directement déduit des $c_{i,j}$

$$\bigoplus_i S^{-1} [S_0 [c_{i,0} \oplus k_0] \oplus S_1 [c_{i,1} \oplus k_1] \oplus S_2 [c_{i,2} \oplus k_2] \oplus S_3 [c_{i,3} \oplus k_3] \oplus k_4]$$



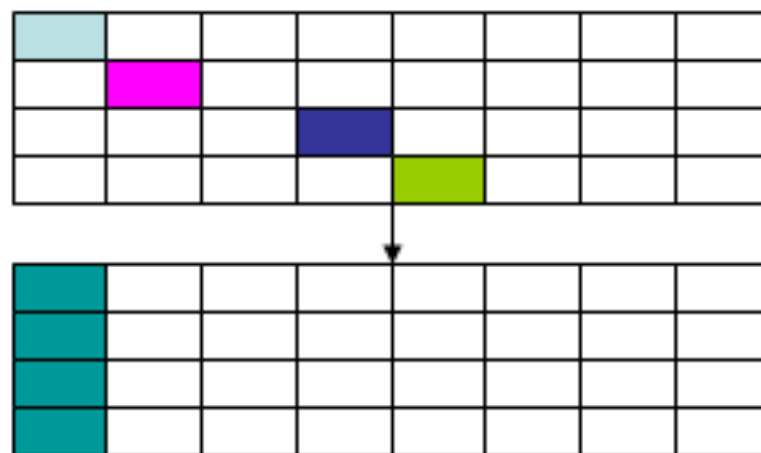
- À chaque chiffré c , on associe la somme partielle :

$$x_k := \sum_{j=0}^k S_j [c_j \oplus k_j] \text{ for } k \text{ from } 0 \text{ to } 3$$

- Utiliser $(c_0, c_1, c_2, c_3) \rightarrow (x_k, c_{k+1}, \dots, c_3)$
 Pour déterminer k_k séquentiellement
 => partage du calcul global en 4 étapes

Extension au début : 2 méthodes

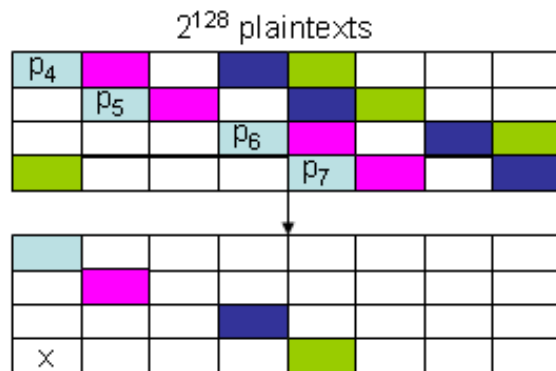
- [Ferguson et al. - 00] : un tour au début



- => Attaque sur 5 tours avec 2^{32} plaintexts

The herd technique

- Un tour de plus au début :
 - Naïvement 2^{128} plaintexts (marche, cf Nakhara et al.)
 - Octet particulier x fixé \Rightarrow a herd : ensemble de 2^{120} chiffrés de 2^{88} structures
 - Test sur un herd.



- X dépend de (p_4, \dots, p_7) et de 4 octets de $4 K_0$
 1. En utilisant 2^{64} compteurs m_y
 2. 2^{32} compteurs n_z
 3. Filtrer les infos sur le key guess



Combiner tout cela...

- Attaque sur $2+4+2=8$ étages
 1. Incrémenter les 64 bits $(c_0, \dots, c_3, p_4, \dots, p_7)$
 2. Devinez les 4 octets de K_0 , calculer x , séparer les compteurs en herds.
 3. Choisir un single herd, mettre à jour n_z en ajoutant (c_0, \dots, c_3) pour chaque y correct
 4. Devinez les 5 octets de K_7 et de K_6 des deux derniers tours pour déchiffrer chaque z en un seul octet. Sommer cet octet sur les 2^{32} valeurs de z et regarder pour les 0.
 5. Répéter le dernier point pour chaque valeur des octets de K_0 .

- \Rightarrow les 4 octets (p_4, \dots, p_7) et les 4 octets de K_0 fournissent 4 octets
- $\Rightarrow 2^{24}$ herds plus petits, réduit la recherche exhaustive à $2^{128} - 2^{119}$ plaintexts.



Complexité et attaques sur 9 étages

- Coût total :
 - $2^{128}-2^{119}$ plaintexts
 - 2^{120} chiffrements

- => ajout d'un étage en plus par recherche exhaustive complète de la clé K_9

Résumé des attaques

Rijndael-256	6	(all)	2^{32} CP	2^{72}	[4] (Integral)
	7	(all)	$2^{128} - 2^{119}$ CP	$2^{128} - 2^{119}$	[6] (Part. Sum)
	7	(all)	6×2^{32} CP	2^{44}	this paper
	8	(all)	$2^{128} - 2^{119}$ CP	$2^{128} - 2^{119}$	this paper
	9	(192)	$2^{128} - 2^{119}$ CP	2^{188}	this paper
	9	(256)	$2^{128} - 2^{119}$ CP	2^{204}	this paper

Cipher	nb rounds	Key sizes	Data	Time Complexity	Memory	Attack
Rijndael-256	6	(all)	$2 \cdot 2^{16}$ CP	2^{32}	2^{16}	2th-order integral
	7	(all)	$6 \cdot 2^{64}$ CP	2^{80}	2^{64}	8th-order integral
	8	> 192	$6 \cdot 2^{192}$ CP	2^{208}	2^{192}	24th-order integral
	8	(192)	$19 \cdot 2^{64}$ CP	2^{191}	2^{64}	8th-order integral
	8	(256)	$21 \cdot 2^{64}$ CP	2^{207}	2^{64}	8th-order integral
Rijndael-224	6	(all)	$2 \cdot 2^{16}$ CP	2^{32}	2^{16}	2th-order integral
	7	(all)	$6 \cdot 2^{64}$ CP	2^{80}	2^{64}	8th-order integral
	8	> 192	$6 \cdot 2^{192}$ CP	2^{208}	2^{192}	24th-order integral
	8	(192)	$19 \cdot 2^{64}$ CP	2^{191}	2^{64}	8th-order integral
	8	(256)	$21 \cdot 2^{64}$ CP	2^{207}	2^{64}	8th-order integral
Rijndael-192	6	(all)	$2 \cdot 2^{16}$ CP	2^{33}	2^{16}	2th-order integral
	7	(all)	$6 \cdot 2^{64}$ CP	2^{81}	2^{104}	8th-order integral
	6	(all)	$2 \cdot 2^{24}$ CP	2^{40}	2^{24}	3th-order integral
	7	(all)	$6 \cdot 2^{92}$ CP	2^{108}	2^{92}	12th-order integral
	8	(256)	$21 \cdot 2^{64}$ CP	2^{208}	2^{104}	8th-order integral
Rijndael-160	6	(all)	$2 \cdot 2^{24}$ CP	2^{40}	2^{24}	3th-order integral
	7	(all)	$6 \cdot 2^{92}$ CP	2^{108}	2^{92}	12th-order integral

Table 2. Summary of Attacks on Rijndael- b using the partial sums technique



Distingueurs à clés connues



[Knudsen – Rijmen 07]

- Notion de distingueur à clés connues
 - Principe, création d'un distingueur partant du milieu du chiffrement
 - Puis détermination d'une propriété particulière liant les clairs et les chiffrés
 - Comparaison avec la complexité nécessaire pour trouver la même propriété pour une permutation aléatoire

- Intérêt : cas des chiffrements par blocs utilisés comme fonction de hashage => distingueur

Modèle théorique [Africacrypt 09]

- Avantage des distingueurs [Vaudenay 97]:
 $\text{Adv}_E(\mathcal{A})$

$$\text{Adv}_E^{PRP}(\mathcal{A}) = \Pr \left[K \xleftarrow{\$} \mathcal{K} : A^{E_K(\cdot)} = 1 \right] - \Pr \left[G \xleftarrow{\$} \text{Perm}(\mathcal{M}) : A^{G(\cdot)} = 1 \right]$$

$$\begin{aligned} \text{Adv}_E^{SPRP}(\mathcal{A}) = & \Pr \left[K \xleftarrow{\$} \mathcal{K} : A^{E_K(\cdot), E_K^{-1}(\cdot)} = 1 \right] \\ & - \Pr \left[G \xleftarrow{\$} \text{Perm}(\mathcal{M}) : A^{G(\cdot), G^{-1}(\cdot)} = 1 \right] \end{aligned}$$

- Deux cas en plus : non-adaptatif, adaptatif

Cas d'un distingueur SPRP adaptatif

Algorithm 2 An n -limited generic adaptive distinguisher with chosen input plaintexts or output ciphertexts

Parameters: functions g_1, \dots, g_n , a set $A^{(n)}$

Oracle: an oracle \mathcal{O} implementing permutations c and c^{-1}

Select a fixed direction and message $(B_1, Z_1^0) = g_1()$ and get $Z_1^1 = c(Z_1^0)$ if $B_1 = 0$ or $Z_1^1 = c^{-1}(Z_1^0)$ otherwise

Calculate a direction and a message $(B_2, Z_2^0) = g_2(Z_1^1)$ and get $Z_2^1 = c(Z_2^0)$ if $B_2 = 0$ or $Z_2^1 = c^{-1}(Z_2^0)$ otherwise

...

Calculate a direction and a message $(B_n, Z_n^0) = g_n(Z_1^1, \dots, Z_{n-1}^1)$ and get $Z_n^1 = c(Z_n^0)$ if $B_n = 0$ or $Z_n^1 = c^{-1}(Z_n^0)$ otherwise

if $(Z_1^1, \dots, Z_n^1) \in A^{(n)}$ then

 Output 1

else

 Output 0

end if



Cas d'un distingueur à clés connues

Algorithm 3 An n -limited generic non-adaptive chosen middletexts distinguisher (*NA-CMA*)

Parameters: a complexity n , an acceptance set $A^{(n)}$

Oracle: an oracle \mathcal{O} implementing internal functions f_1 (resp. f_2) of permutation c that process input middletexts to the plaintext (resp. ciphertext) end

Compute some middletexts $\mathbf{M} = (M_1, \dots, M_n)$

Query $\mathbf{P} = (P_1, \dots, P_n) = (f_1(M_1), \dots, f_1(M_n))$ and $\mathbf{C} = (C_1, \dots, C_n) = (f_2(M_1), \dots, f_2(M_n))$ to \mathcal{O}

if $(\mathbf{P}, \mathbf{C}) \in A^{(n)}$ then

 Output 1

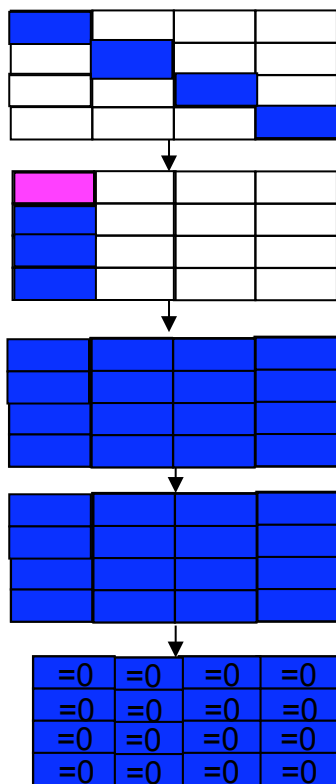
else

 Output 0

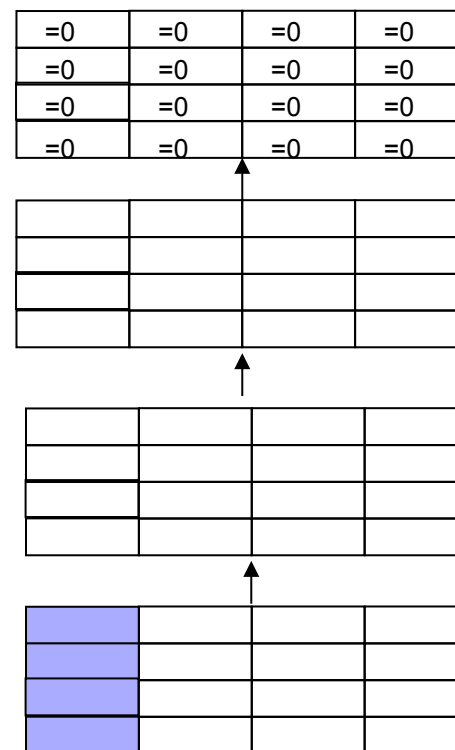
end if

Etude de cas : l'AES [Knu-Rij 07]

■ Sens descendant

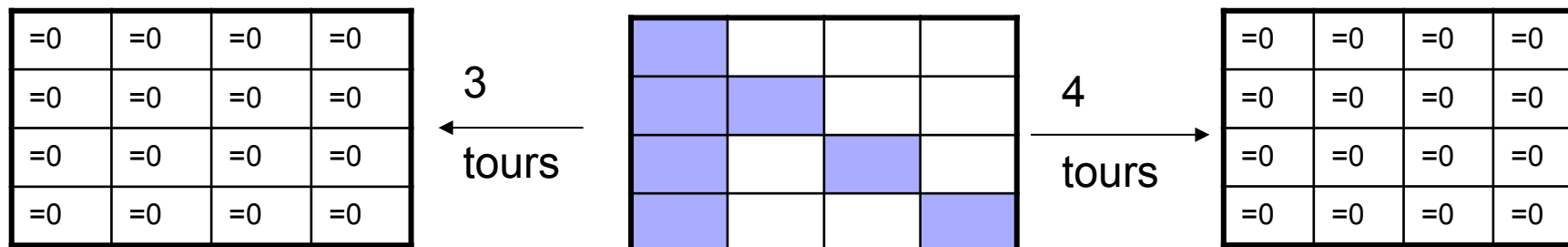


■ Sens Montant



KK distinguisher pour l'AES

- KK distinguisher sur 7 étages
 - 3 dans un sens, 4 dans l'autre



- Nécessitant 2^{56} middletexts et 2^{56} chiffrements
- Pour une permutation aléatoire \Rightarrow k-sum problem, complexité : 2^{58} operations
- \Rightarrow KK distinguisher pour l'AES

KK distinguisher pour Rijndael

- Mêmes types de propriétés dans le sens montant
- Résumé des KK distinguishers pour Rijndael [Africacrypt 2009] :

Cipher	nb rounds	Key sizes	Data	Time Complexity	Memory	Source
AES	7	(all)	2^{56} CM	2^{56}	small	[12]
Rijndael-256	8	(all)	2^{40} CM	2^{40}	small	this paper
Rijndael-224	8	(all)	2^{72} CM	2^{72}	small	this paper
Rijndael-192	7	(all)	2^{32} CM	2^{32}	small	this paper
Rijndael-160	7	(all)	2^{40} CM	2^{40}	small	this paper

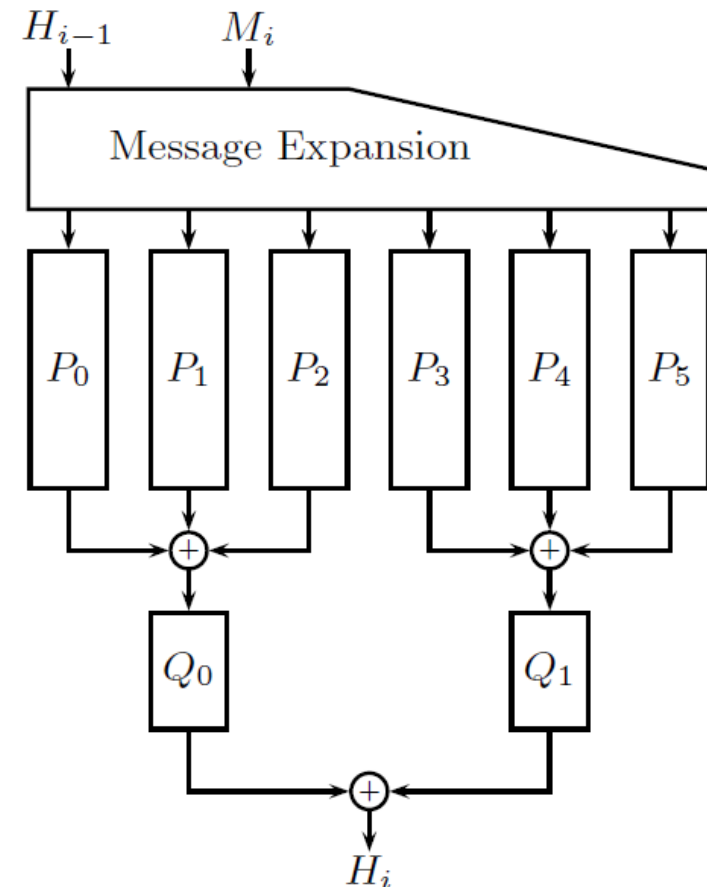
Table 2. Summary of known-key distinguishers on Rijndael- b . CM means Chosen Middle-texts.



Encore une idée...

LANE : fonction de hashage soumise à SHA 3

- $H_i = h_0 || h_1 = 256$ bits
- $M_i = m_0 || m_1 || m_2 || m_3 = 512$ bits
- $P_i = 6$ tours AES modifié
- $Q_i = 3$ tours AES modifié

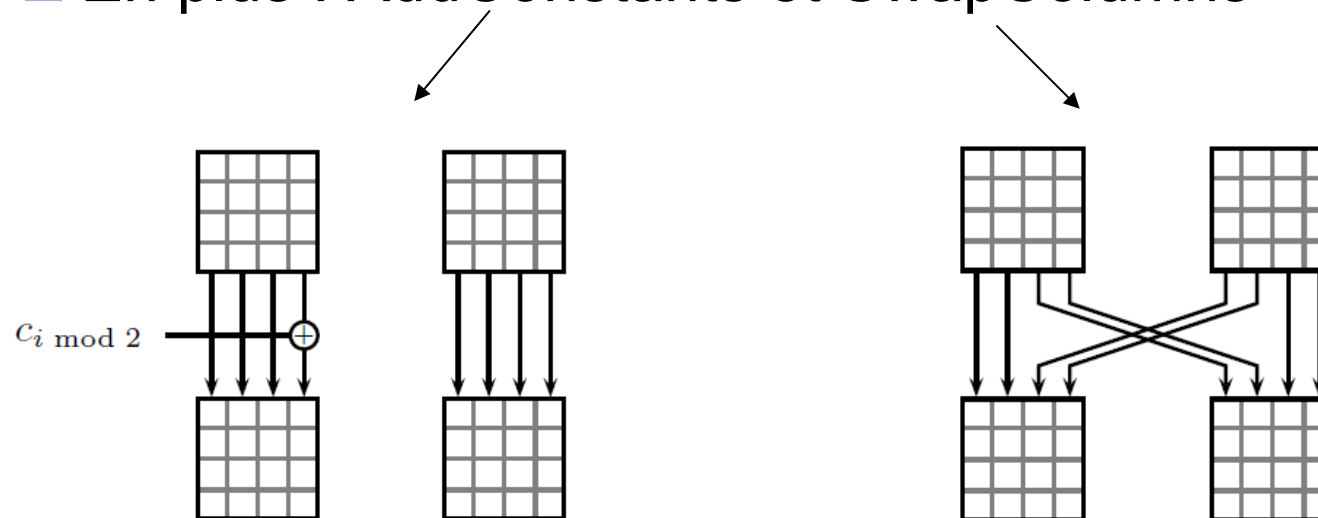


Ce qui rentre dans les P_i

$$\begin{array}{l} W_0 = h_0 \oplus m_0 \oplus m_1 \oplus m_2 \oplus m_3 \\ W_1 = h_0 \oplus h_1 \oplus m_0 \oplus m_2 \oplus m_3 \\ W_2 = h_0 \oplus h_1 \oplus m_0 \oplus m_1 \oplus m_2 \\ W_3 = h_0 \\ W_4 = m_0 \\ W_5 = m_2 \end{array} \left| \begin{array}{l} h_1 \oplus m_0 \oplus m_2 \\ h_0 \oplus m_1 \oplus m_2 \\ h_0 \oplus m_0 \oplus m_3 \\ h_1 \\ m_1 \\ m_3 \end{array} \right. .$$

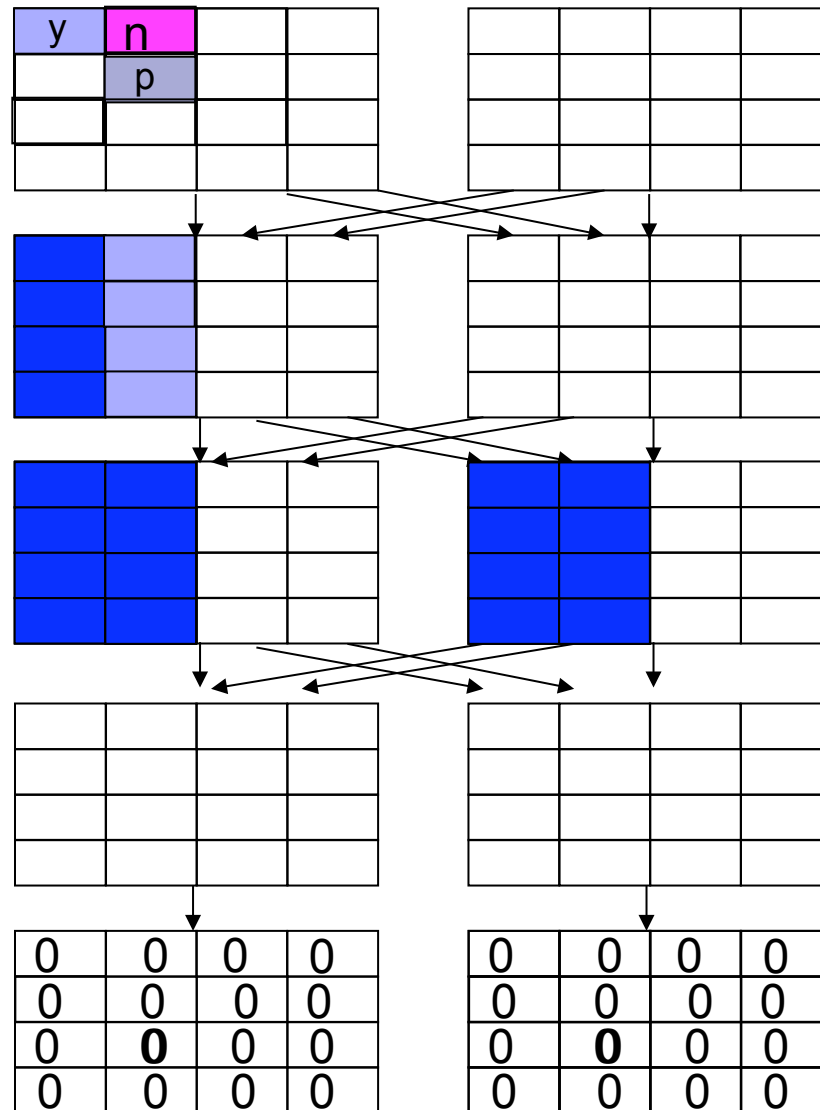
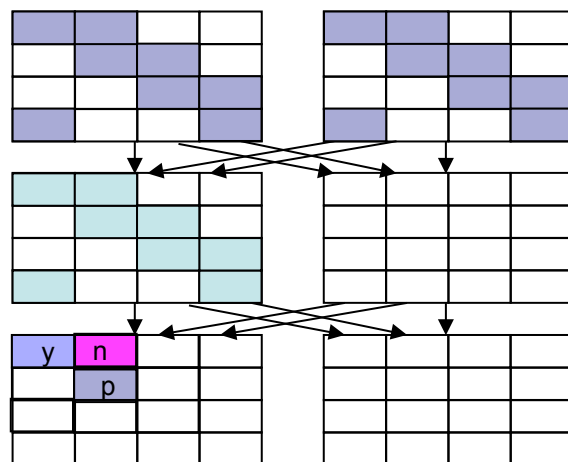
Les P_i et les Q_i (LANE 256)

- Les mêmes opérations que l'AES en 256 bits
 - SubBytes, ShiftRows, MixColumns, KeyAdd (with constants)
 - En plus : AddConstants et SwapColumns



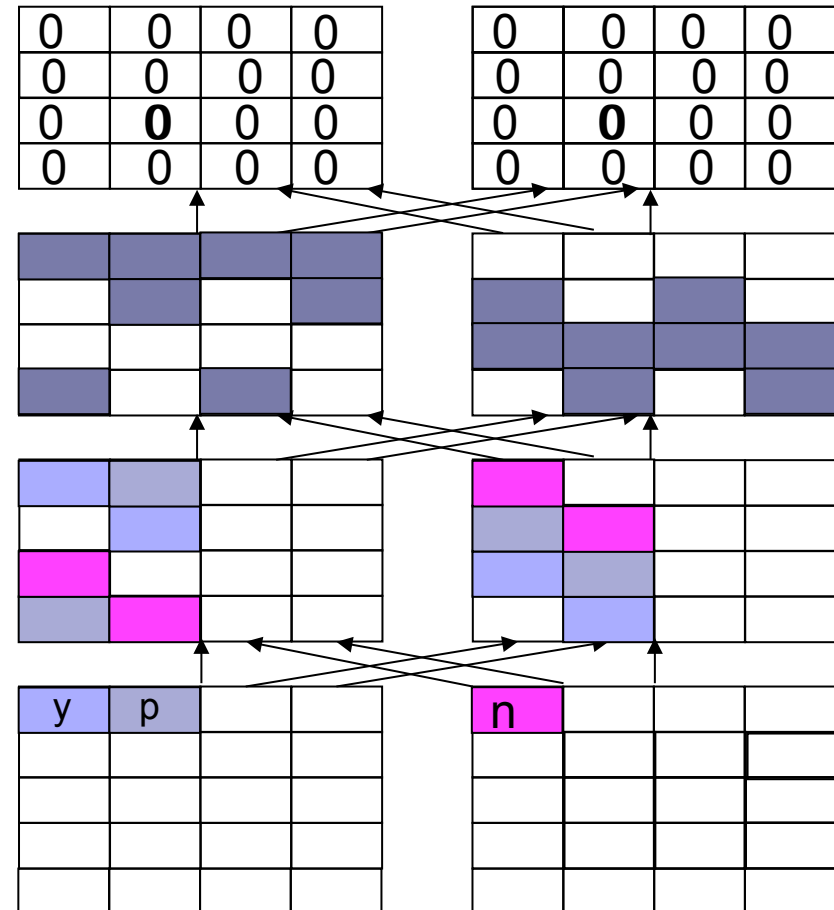
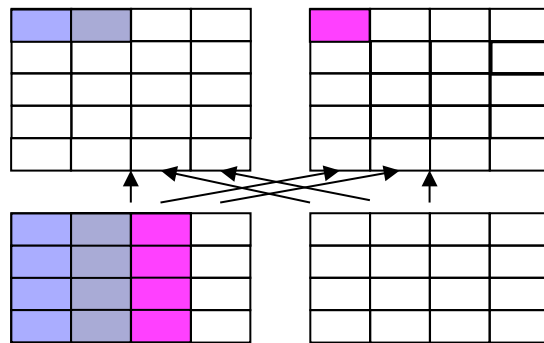
Propriétés intégrales de LANE-256

- 3 tours +
extension au
début :



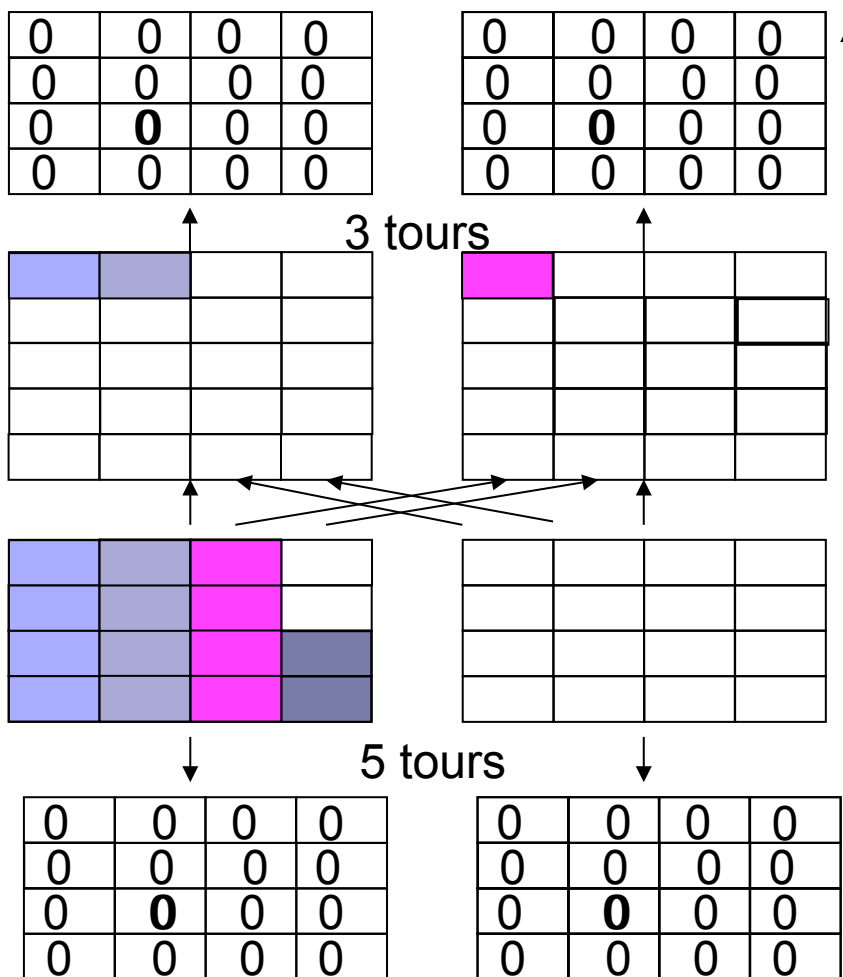
Propriété intégrale de LANE-256 sens indirect

- Propriété intégrale sur 3 tours + extension au début :



On combine les deux

- Distingueur en 2^{112} de la moitié de LANE...

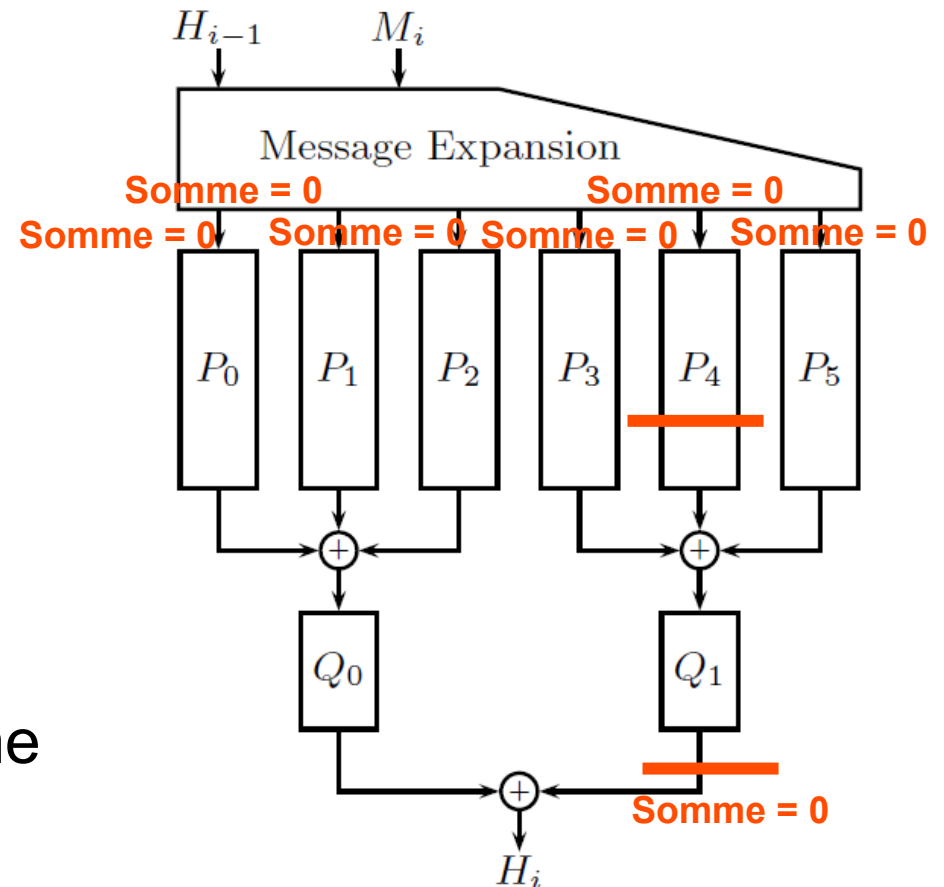


4 tours : vue
comme 2^{16}
ensemble de
 2^{96} valeurs
qui nous
arrange.

5 tours :
Vue comme
 2^{48} ensemble
de 2^{64}
valeurs qui
nous arrange.

Pourquoi la moitié ?

- Si $h_0 = h_1 = m_2 = m_3 = \text{cte}$:
 - $W_0 = m_0 + m_1 \parallel m_0$
 - $W_1 = m_0 \parallel m_1$
 - $W_2 = m_0 + m_1 \parallel m_0$
 - $W_3 = 0 \parallel 0$
 - $W_4 = m_0 \parallel m_1$
 - $W_5 = 0 \parallel 0$
- Alors :
 - Sur 2^{112} messages, un certain nombre de somme valent 0...





Conclusion

- Les propriétés intégrales sur Rijndael n'avait pas été bien étudiées
 - Distingueurs à clés inconnues
 - Distingueurs à clés connues
- Dernier modèle prometteur et important pour la compétition SHA-3 (cf : LANE)